

التصميم الميكاتروني لمنظومة قاطرة أتوماتيكية لتسهيل آداء

مناسك الحج والعمرة

Mechatronics Design of Automated Trailer System to Facilitate the Performance of Hajj and Umrah

إعداد:

د.أيمن عبدالحميد النجار

د.فرحان سالم عطا الله

قسم الهندسة الميكانيكية – كلية الهندسة

قسم الهندسة الميكانيكية – كلية الهندسة

جامعة الطائف

جامعة الطائف

د.كامل عقيله شوش

د.أشرف عبدالرحمن المراكبي

قسم الهندسة الميكانيكية – كلية الهندسة

قسم الهندسة الميكانيكية – كلية الهندسة

جامعة الطائف

جامعة الطائف

الملخص

توافقاً مع المتطلبات المتنامية لتحسين خدمة الحجيج و المعتمرين و لتذليل الصعوبات التي يواجهها الحاج ذوي الإحتياجات الخاصة (كبار السن، والمقعدين والمريضى)، و زيادة راحتهم، و كذلك تسهيل آداء مناسك الحج و العمرة، وبهدف حل بعض الصعوبات التي يواجهها موظفى الدولة القائمين على شئون الحرم المكي، وكذلك الإستفاده المثلثى من مساحات الطواف المختلفة، تقترح هذه الورقة تصميم ناقلة آمنة كهربائية ذكية ذاتية العمل ، تعمل بالطاقة الشمسية ، لآداء مناسك العمرة من طوافٍ و سعي. التصميم المقترن يتكون من أربعة منظومات فرعية: المنظومة الميكانيكية و المنظومة الكهربائية و منظومة التحكم و منظومة الخلايا الكهروضوئية. يتكون هيكل المنظومة الميكانيكية من قسمان قاطرة و مقطورة مزودة بمقاعد للمعتمرين (Tractor and Passenger Carriage). المنظومة الالكترونية مزودة بمستشعرات للسرعة و الحركة و البعد و بوحدة تحكم مبرمجة لتأمين السلامة و تحكم بإنجاز التصميم لوظائفه من إتمام الطواف و السعي بشكل ذاتي ذكي، حيث يتم أشواط الطواف السبعة و من ثم التوجه بعدها لآداء أشواط السعي. وللحصول على التصميم الأمثل، الذي ينجز أفضل آداء و بسعر تكلفة مقبول، تم تطبيق النهج الهندسي الميكاتروني (Mechatronics) في التصميم و التحقق من صحة و دقة التصميم المقترن،

من اختيار و دمج المنظومات الفرعية و مكوناتها مقتربة بالنمذجة و المحاكاة و كذلك منع أي تلوث لأجواء الحرث ، يستثمر التصميم المقترن الطاقة الشمسية، حيث أنه مزود بلوح خلايا كهروضوئية لتوليد الكهرباء من الطاقة الشمسية لشحن البطارية، التي، بدورها، تزود كل جزء من من أجزاء التصميم الميكانيكي المقترن بالطاقة الكهربائية.

الكلمات المفتاحية: المركبات الكهربائية، نمذجة ومحاكاة، الخلايا الكهروضوئية، الحج والعمره.

المقدمة

تقترح هذه الورقة تصميم ميكانيكي لناقلة آمنة كهربائية ذكية ذاتية العمل ، تعمل بالطاقة الشمسية. التصميم المقترن للناقلة يتكون من أربعة منظومات فرعية (الشكل 1.a) : الميكانيكية، الكهربائية، التحكم، و وحدة الخلايا الكهروضوئية. سيتم تطبيق النهج الميكانيكي لتصميم الناقلة ككل عبر إختيار و تصميم كل المنظومات الفرعية على التوازي و من ثم كتابة النموذج الرياضي لها ثم محاكاتها للتحقق من صحة إختيارها و تصميمها و دقة أدائها، ليتم لاحقاً دمج هذه المنظومات الفرعية بشكل تكاملى تفاعلي لتكوين التصميم الكلى للناقلة و من ثم التتحقق من تحقيقها للأداء المطلوب و إنجاز الوظائف المحددة لها. التمثيل الصندوقى للتصميم المقترن مع المنظومات الفرعية مبينة في الشكل 1.b، مثال للمكان المقترن لتطبيق التصميم المقترن مبين في الشكل 2)، كما يمكن استخدام التصميم المقترن في الطوابق العلوية و صحن الكعبة.

في السنوات الأخيرة تزايد الأهتمام لدمج الوحدات الكهروضوئية (Photovoltaic modules) مع الناقلات الكهربائية (Electric Vehicles) يهدف ذلك إلى تحقيق المتطلبات المتزايدة للترشيد من استهلاك الوقود وتقليل التلوث البيئي المرتبط بإستخراج و استهلاك الوقود، كما يرجع ذلك إلى حقيقة أن الطاقة الشمسية نوع من أنواع الطاقة المتجدد، الوفيرة و المجانية، وأيضاً نظراً لتناقص تكاليف تصميم و إنتاج الوحدات الكهروضوئية ورفع كفائتها [2-1]. إن الدمج بين هذين العنصرين، آدى الى تولد فكرة الناقلات الكهربائية الهجينه العاملة بالطاقة الشمسية والتى تمتاز بأنها خفيفة الوزن و ذات كفاءة إيروديناميكية عالية [9-3].

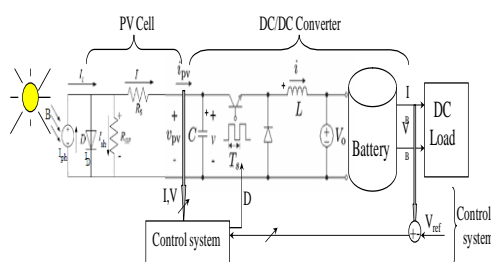
منهجية العمل والتحليل

يكون تطبيق التكامل للمنظومات الفرعية ضمن التصميم الميكانيكي إحدى نوعين، من خلال دمج المكونات الفيزيائية (Hardware Integration) ، والتكامل عن طريق معالجة المعلومات (Software Integration). يتحقق دمج المكونات الفيزيائية من تصميم المنظومة الميكانيكية ككل- كجزء واحد، و دمج أجهزة الاستشعار، والمشغلات، و الحواسيب الصغيرة في العملية الميكانيكية، الحواسيب الصغيرة يمكن أن تكون متكاملة مع المشغلات ، أو المستشعرات أو يتم ترتيبها و تمووضعها في عدة أماكن في التصميم الكلى [10,11].

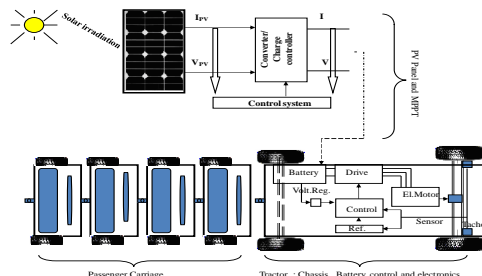
للحصول على قيادة آمنة، سلسة و كذلك راحة أثناء الحركة بدون أدنى ركالات عند التحرك والوقوف، وكذلك لإعطاء المعتمرين الفترة الكافية للدعاء والتلبية، يقترح أن تكون السرعة الخطية المثلث للناقلة 0.5 m/s ، و نصف قطر العجلة الأمثل هو 0.075 m و تعطى العلاقة بين نصف قطر العجلة (r) و السرعة الخطية (v) للناقلة بالعلاقة (1).

$$v = \omega \cdot r \quad (1)$$

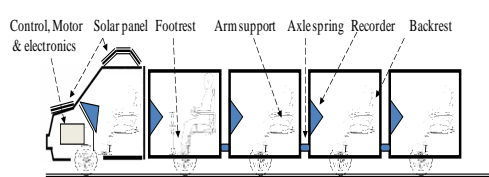
ت تكون المنظومة الميكانيكية من قسمان قاطرة و مقطورة، و تبين الاشكال (٣-١) مسقطان للتصميم الميكانيكي لكل من هيكل القاطرة و المقطورة. يتكون التصميم المقترن للناقلة من أكثر من مقطورة (Passenger Carriage Trailer) للمستخدمين و يقترح أن يكون عدد المقطورات أربعة، العرض و الطول المقترن للمقطورة الواحدة يكون 0.8 m ، الأرتفاع المقترن للمقطورة يكون 1 m واحد، كل مقطورة مزودة بمقدار يتسع لشخصين متاجوريين. لربط المقطورات ببعضها و تسهيل القطر، كل مقطورة مزودة (Axe springs). تحتوي القاطرة (Tractor) على المولد الرئيسي للحركة و تكون ذات تصميم إبرودينامي، ذات مقدمة كما مبين في الشكل (3). و تحتوي على مقعد للمستخدمين. لتوفير المساحات و إستمار الحجم أثناء التصميم، وأيضاً للإستفادة من أكبر كم من الإشعاع الشمسي، وكما مبين في الشكل (3)، يوضع اللوح الكهروضوئي (Photovoltaic Panel)، على السطح و تتوافق أبعاده مع أبعاد القاطرة، و مع توليد القدرة الكهربائية المطلوبة.



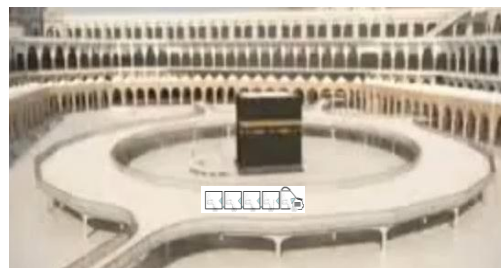
الشكل (1.b)) الدوائر الكهربائية الممثلة للمنظومات الفرعية المكونة للتصميم المقترن: (الخلية الكهروضوئية، المحول، و التحكم).



الشكل (1.a)) المنظومات الفرعية المكونة للتصميم المقترن: (الميكانيكية، الكهربائية، التحكم، و منظومة الخلايا الكهروضوئية).



الشكل (3) منظر جانبي للتصميم المقترن، بين الهيكل الميكانيكي للقاطرة، المقطورة و تزويداتها ، و تموير اللوح الكهروضوئي



الشكل (2) التصميم المقترن في الطواف المعلق

كون أن التصميم المقترن هو أحد أشكال تطبيقات الناقلات الكهربائية الهجينه العامله بالطاقة الشمسية، فإن المشغل الأمثل، يقترح أن يكون من مشغلات (مواتير) التيار المستمر (PM machines) و التي تمتاز مواتير التيار المستمر بعده من المزايا، منها، الاكتناز، انخفاض الوزن، المتانة، الكفاءة و الموثوقية العالية ومعامل قدرة مرتفع و توليد عزم دوران عالي وأخيراً انخفاض تكلفة الصيانة[12-13]. كما مبين في الشكل (4).

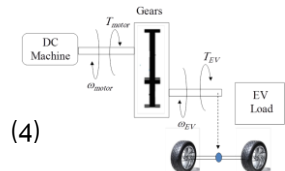
إشتقاق النموذج الرياضي لمotor التيار المستمر، وكذلك ومحاكاته وتقدير ادائه، مذكور ياسهاب في العديد من المراجع العلمية و منها [14-17] ، و بناءً عليه ، دالة النقل الرابطة بين الجهد المدخل (V_{in}) و السرعة الزاوية لمotor المحور (ω)، معطاة بالعلاقة (2). حيث أن العزم (T)، هي مجموع عزوم القوى المؤثرة على الناقلة أثناء حركتها ، بما فيها احتكاك كولومب (T_f) و المعطاة، جميعها، بالعلاقة (3).كون أن الشكل الهندسي يحدد القصور الذاتي (Inertia) فلحساب القصور الذاتي، يمكن اعتبار أن الناقلة ذات شكل متوازي المستويات و حساب كل من القصور الكلي المكافئ (J_{equiv}) و الاخماد (Damping) الكلي المكافئ (b_{equiv}) بالعلاقة (4).القصور الذاتي للعجلات و كذلك التروس و المotor تضاف جميعها للقصور الكلي المكافئ، كما معطى بالعلاقة (4)

$$G_{open}(s) = \frac{\omega_{platform}(s)}{V_{in}(s)} = \frac{K_t / n}{(L_a s + R_a)(J_{equiv} s^2 + b_{equiv} s) + (L_a s + R_a)(T_f) + K_b K_t} \quad (2)$$

$$T = T_{load} + T_f \quad (3)$$

$$J_{load} = \frac{bh^3}{12} \Rightarrow J_{equiv} = J_m + J_{Load} \left(\frac{N_1}{N_2} \right)^2, b_{equiv} = b_m + b_{Load} \left(\frac{N_1}{N_2} \right)^2 \quad (4)$$

$$J_{equiv} = J_{motor} + J_{gear} + (J_{wheel} + mr^2) * \left(\frac{N_1}{N_2} \right)^2$$



الشكل (4) الميكانيكي الكهروميكانيكي، للتصميم المقترن، وربط العجلات مع المotor

إختيار و دمج وحدة التحكم (Control unit) والمستشعرات (Sensors)

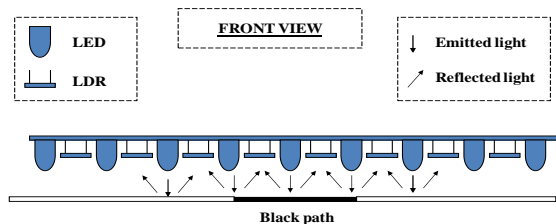
إن وحدة التحكم المناسبة للتحكم في وظائف التصميم المقترن وتحقيق الأداء و الوظائف المطلوبة هو المايكروكونترولر (PIC16F917) المغمور (Embedded Microcontroller) داخل هيكل التصميم كالمبين في الشكل (5). عدد من منهجيات و خوارزميات التحكم، يمكن أن تستخدمن للتحكم في حركة مotor التيار المستمر لتحقيق الأداء و السرعة المطلوبان منها نهج (PID)، كما يمكن استخدام الحلقات التكراريه (For.. loop) التصاعديه في البرمجه، لبرمجة وحدة التحكم - المايكروكونترولر، للتحكم في تشغيل و إغلاق المotor، وكذلك استخدام عرض النسبة (PWM) لتحقيق الأداء و السرعة المطلوبان.

$$G_{PID} = K_p + \frac{K_I}{s} + K_D = \frac{K_D s^2 + K_p s + K_I}{s} = \frac{K_D \left[s^2 + \frac{K_p}{K_D} s + \frac{K_I}{K_D} \right]}{s} \quad (5)$$

يتطلب التصميم المقترن ثلاثة أنواع من أجهزة الاستشعار: مستشعر العقبات لاستشعار وجود متعمرين أمام القاطرة و في مسارها، و آخر مستشعر للمسار المطلوب تعقبه، سواء كان الطواف أو السعي، كما أن وحدة التحكم، يمكن برمجتها لتحكم بإنجاز الحركة إما بالإعتماد على الزمن اللازم أو تتبع مسار (خط) مرسوم على أرضية كل من المطاف المعلق والمسعي. إن أجهزة الاستشعار المتاحة تجاريًا منخفضة التكلفة، و سهلة في الربط مع وحدة التحكم و وكذلك تلبى متطلبات التصميم المقترن كما بالشكل(5): مستشعر السرعة (Tachometer)، مستشعر العقبات بالموجات فوق الصوتية (Ultrasonic sensors) ، و مستشعر المسار و الذي يمكن ان يكون برنامج مصمم لحساب المسافات أو وحدة إستشعار المسار مكونة من أزواج (LDR-LED) كما مبين في الشكل.



الشكل (5(c)) مستشعر العقبات بالموجات فوق الصوتية



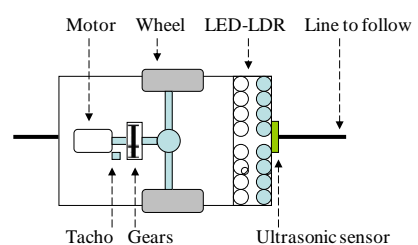
الشكل (5(b)) وحدة واحدة من مستشعر-

LED

LDR

الشكل (5(a)) وحدة التحكم

الميكروكونترولر



الشكل (5(d)) ، مكان توضع كل من مستشعر المسار و مستشعر السرعة ، و مستشعر العقبات في القاطرة

خوارزميات المستشعرات: خوارزمية كل من مستشعر العقبات و مستشعر السرعة و مستشعر المسار. و منها، خوارزمية مستشعر العقبات تكتب على أساس البعد الأنسب و الأكثر امناً لإيقاف أو إبطاء الناقلة لسرعتها، عند وجود عائق (متعمر) أمامها، لتابع الحركة بعد ذهاب العائق، المسافة المقترنة لوجود عائق و إيقاف الحركة، هي 0.25 متر ، فتكون الخوارزمية كالتالي:

Step 1: Read : distance to object.

Step 2: If distance > 50 cm

Move, or , keep velocity of 0.5 m/sec

elseif 40 cm < distance <= 50 cm

Decrease velocity to 0.3 m/sec

elseif 25 cm < distance <= 40 cm

Stop all motions

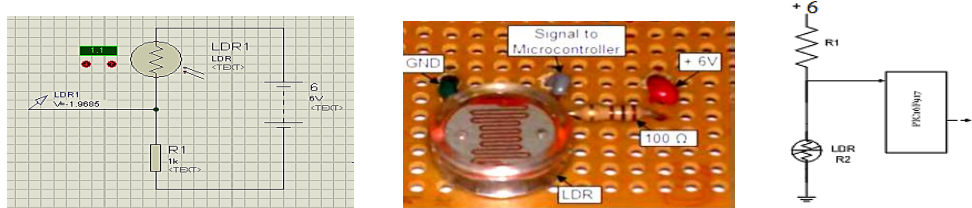
Step 3 : Go to step 1

مستشعر المسار، المبين في الشكل (6) يتكون من أزواج ثنائية من مصدر ضوء (LED) مع مقاومه متغيرة، تتغير مع تغير شده الضوء (LDR)، تمت محاكاة مستشعر المسار بإستخدام برنامج (Proteus)، و نموذج المحاكاة مبين في الشكل (7). النموذج الرياضي لمستشعر السرعة (Tachometer)، و الذي يعبر عن ديناميكية، كذلك حساب ثابت مستشعر السرعة (K_{tach}) معطى بالعلاقة (6). لتحقيق السرعة الخطية المقترحة المثلثى للناقلة، أي 0.5 m / s ، مع نصف قطر عجلة الأمثل هو 0.075 متر، و جهد المدخل 12 فولط، و ثابت مستشعر السرعة يحسب بالتعويض في المعادلة (8) ، بعد حساب السرعة الزاوية لمotor، و منه:

$$V_{out}(t) = K_{tach} \frac{d\theta(t)}{dt} \Rightarrow V_{out}(t) = K_{tach} \omega \Rightarrow K_{tach} = \frac{V_{out}(s)}{\omega(s)} \text{ and } \omega = \frac{V}{r}$$

$$\omega = \frac{V}{r} = \frac{0.5}{0.075} = 6.6667 \text{ rad / s} \Rightarrow K_{tach} = \frac{12}{6.6667} = 1.8$$

(6)



الشكل (7) محاكاة و تنفيذ دائرة مستشعر المسار المكونة من زوج من (LDR- LED) و ربطه مع وحدة التحكم-الميكروكونترولر

اللوح الكهروضوئي (Photovoltaic panel)

الوحدات الكهروضوئية يتم ترتيبها في بنية على التوالى-التوازي لتشكيل الألواح الكهروضوئية (PV Panel) لإنتاج ما يكفى من القدرة المطلوبة [18] و يمكن تجميع الألواح الكهروضوئية لتشكيل

المجموعات-المصفوفات (array) الكهروضوئية الكبيرة. لقد تم على مدى العقود الأربع الماضية، دراسة و تمثيل و اشتقاء النموذج الرياضي للخلية-و اللوح الكهروضوئي، وأيضاً محاكاتهم ، من حيث التيار ، القدرة ، و الخصائص الكهروضوئية (P-V ، I-V) ، ويمكن العثور على ذلك في مراجع علمية مختلفة، و معظم هذه المراجع تم سردها في [19] ، و منها أن التيار الصافي المولود من الخلية الكهروضوئية و الخصائص (V-P ، I-V)، معطاة بالمعادلة (7)، ان هذا التيار المولود هو الفرق بين ثلاثة تيارات هي: the light-generated photocurrent I_{ph} , diode current I_d and the shunt current I_{RSH}

$$I = I_{ph} - I_d - I_{RSH}$$

$$I = I_{ph} - I_s \left(e^{\frac{q(V+IR_s)}{NKT}} - 1 \right) - \frac{V + R_s I}{R_{sh}}$$

$$I = (I_{sc} + K_i (T - T_{ref})) \frac{\beta}{1000} - I_s \left(e^{\frac{q(V+IR_s)}{NKT}} - 1 \right) - \frac{V + R_s I}{R_{sh}}$$
(7)

نمذجة ديناميات الناقلة Modeling of design dynamics

يمكن العثور على مراجع علمية مختلفة لنموذج ديناميكية منصة (Platform) متحركة ، بما في ذلك [20-21]. إن عزم الدوران اللازم تجاوزه من قبل الناقلة، للبدء بالحركة، هو مجموع عزم الدوران الناتجة عن القوى المؤثرة على الناقلة أثناء سيرها ، و هذه القوى معطاه بالمعادلة (8). حيث أنه وبالرجوع للشكل (8) و الذي يبين تحليل لقوى المؤثره على التصميم المقترن أثناء سيره، و عزوم هذه القوى تشمل: عزم (rolling resistance torque) و المعطى بالمعادله (10)، (The hill-climbing resistance, slope, torque) و المعطى بالمعادلة (11)، و عزم القصور الذاتي الكلي للناقله و المعطى بالمعادلة (12)، و العزم إيرودينامي، و المعطى بالمعادلة (13)، و القوه الإيروديناميكية الرافعة، و المعطى بالمعادلة (14)، و قوه التسارع الزاوي، هو القوه اللازمه لزيادة سرعة التسارع الزاوي و المعطى بالمعادلة (15)، و قوه التسارع الخطي، هي القوه اللازمه لزيادة سرعة الناقلة و يمكن وصفها بأنها القوه اللازمه لزيادة السرعة الخطية للناقلة و المعطى بالمعادلة (16). يتم اختيار المотор لتوليد العزم اللازم لتجاوز هذه العزوم و البدء بالحركة و كذلك ليتمكن للتصميم المقترن من انجاز وظائفه إما، على أسطح المسارات مستوية، أو مستخدماً الإنحدارات المخصصة لذوي الاحتياجات الخاصة في الكراسي المتحركة.

لتحديد سعة البطارية الكهربائية ، و منها تصميم اللوح الكهروضوئي فإنه يتطلب حساب القدرة الكهربائية المطلوبة للناقلة، لتجاوز مجموع العزوم المؤثره و تطوير سرعة ثابتة مستقرة، يمكن تحديد القدرة الكهربائية من خلال ضرب مجموع القوى الكلية مع سرعة الناقلة ، كما معطى بالمعادلات (17,18,19) .

$$F_{Total} = F_a + F_R + F_C + F_{Lin_a} + F_{ang_a} \quad (8)$$

$$F_{Total} = F_a + F_R + F_C + F_{Lin_a} + F_{ang_a} \quad (9)$$

$$T_{rolling} = (MgC_r \cos(\alpha))r_{wheel} \quad (10)$$

$$T_{climb} = T_{slope} = (Mg \sin(\alpha))r_{wheel} \quad (11)$$

$$F_{inertia} = F_{slope} = M \frac{dV}{dt} \quad (12)$$

$$T_{aerod} = \left(\frac{1}{2} \rho A C_d V_{vehicle}^2 \right) r_{wheel} \quad (13)$$

$$F_{lift} = 0.5 \rho C_L B V_{vehicle}^2 \quad (14)$$

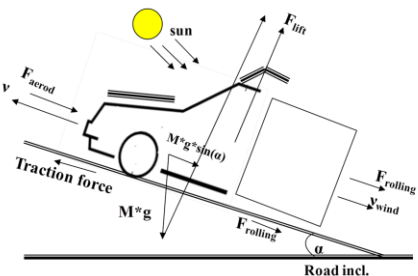
$$F_{acc_angle} = J \frac{n^2}{r_{wheel}^2} a \quad (15)$$

$$F_{acc} = M * a = M \frac{dv}{dt} = \left(M + \frac{J_{wheel}}{r^2} \right) \frac{dv}{dt} \quad (16)$$

$$F_{acc} = M * a = M \frac{d\omega}{dt} = M \sum \frac{T}{J} \quad (17)$$

$$P_{Total} = (\sum F) * v = F_{Total} * v \quad (18)$$

$$\alpha = I \times V \quad (19)$$



الشكل (8) تحليل للقوى المؤثرة على التصميم المقترن

النتائج ومناقشتها

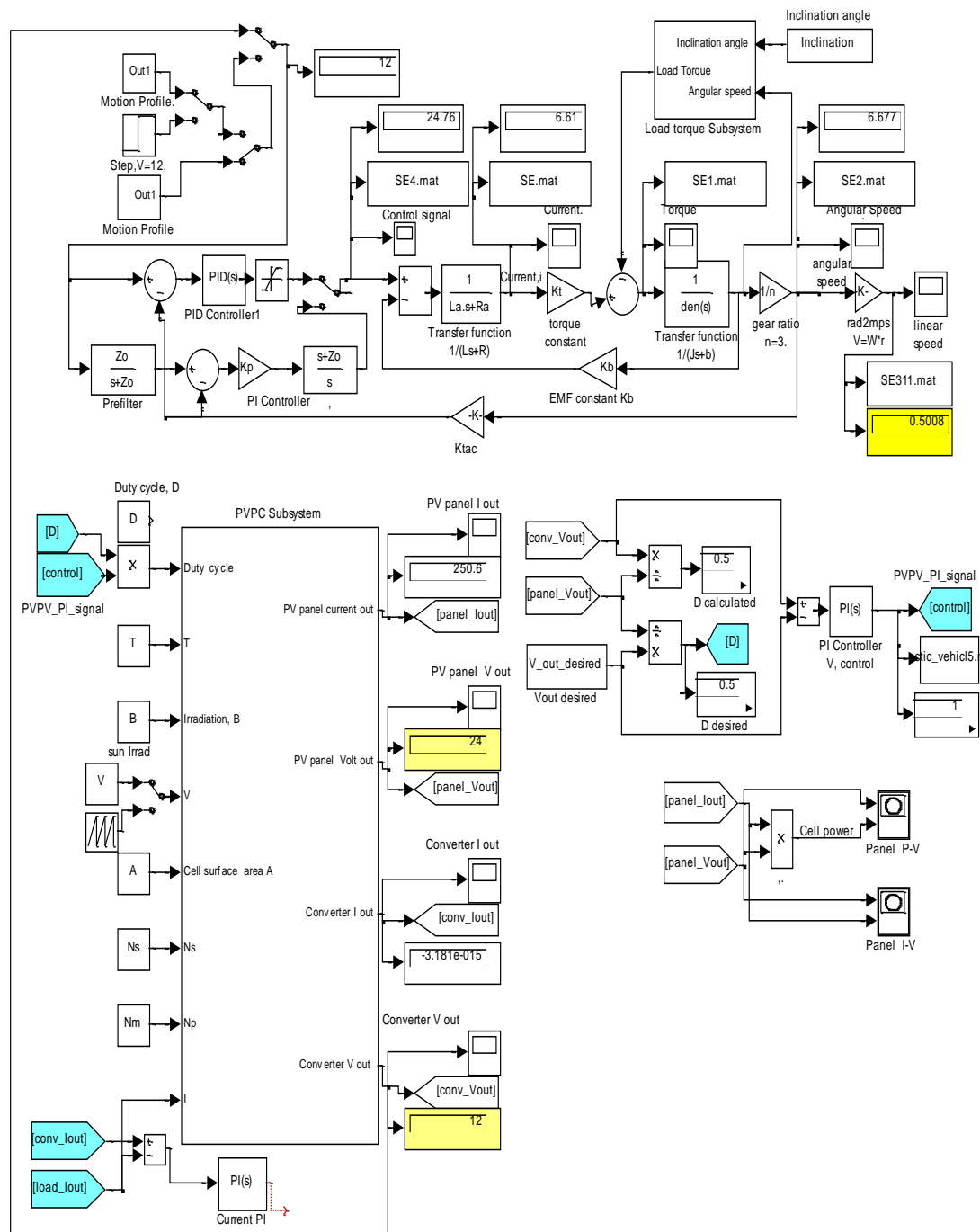
لمحاكاة التصميم الكلي للناقلة المقترنة تم إستخدام برمجيات (MATLAB /Simulink) ، لإنشاء النموذج الكلي للتصميم و المبين في الشكل (9). حيث يوضح نموذج لمحاكاة الماطور الكهربائي ، و ديناميكيات الناقلة أثناء سيرها، و مشتملاً على نموذج المحاكاة لكل من اللوح الكهروضوئي و المحول و مولد عرض النبضة . وهذا النموذج صمم ليعطي أكبر قدر ممكن من البيانات العددية و البيانية، والتي تعطي المصمم القدرة على تحليل و تقييم آداء كل منظومة فرعية و كذلك آداء التصميم الكلي.

من أجل التحقق من صحة التصميم و دقة تحقيقه للأداء المطلوب، وأيضاً قابلية تنفيذه ، تمت تجربته في برنامج الماتلاب، وذلك باستخدام القيم العددية لمعايير كل منظومة من المنظومات الفرعية و المعطاة في ملحق (1) ، و اختيار وحدة التحكم لتكون نوع (PID) و تعراض التصميم

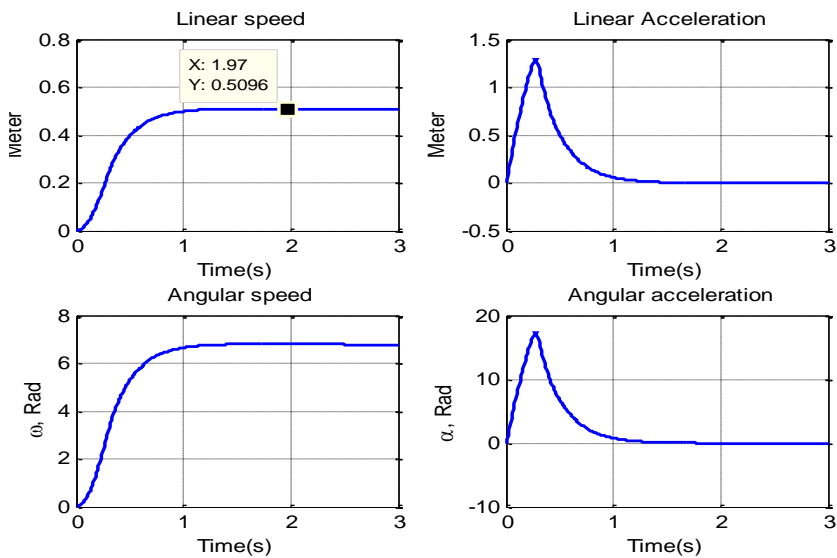
لأشاره الخطوه التجربية (أي التشغيل بإرسال 12 فولط للموتور)، وافتراض أن النموذج المقترن يرتفع على سطح مائل زاويته 45 درجة، لحاكي، أصعب الأوضاع أثناء الصعود بإتجاه الصفا والمروءة وبوزن إجمالي يعادل 800 كيلوغرام، فإنه يتم الحصول على منحنى إستجابة التصميم (الشكل (10)) والتي تعبر عن آداء كل منظومة فرعية وكذلك آداء التصميم الكلي، وكيفية إنجازه لوظائفه، وتحديداً منحنى إستجابة السرعة الخطية للتصميم، منحنى إستجابة التسارع الخطى والزاوى، منحنى كمية التيار الكهربائى المستهلك، وكذلك القيم العددية لهذه المعايير كما هي مبينه على نموذج المحاكاة. بتحليل هذه المنحنىات ، يتبع نصل الى ان التصميم المقترن يصل الى السرعة المطلوبة في (1.3 ثانية)، بدون تجاوزات، ما يعني أنه تم الحصول على قياده آمنة، سلسة ومرية و بدون ركلاط عند التحرك و التوقف. للتحقق أكثر من دقة التصميم، تم، أيضاً، تعرية لإشارة (Motion profile)، لتعبر عن تسارع التصميم للوصول للسرعة الخطية المطلوبة و من ثم المحافظة عليها ، وبعد ذلك التناقض في السرعة من أجل التوقف ، منحنىات إستجابة التصميم لإشارة (Motion profile)، من حيث السرعة الخطية، السرعة الزاوية، التيار ، والعزم مبينة في الشكل (11) .

التوصيات

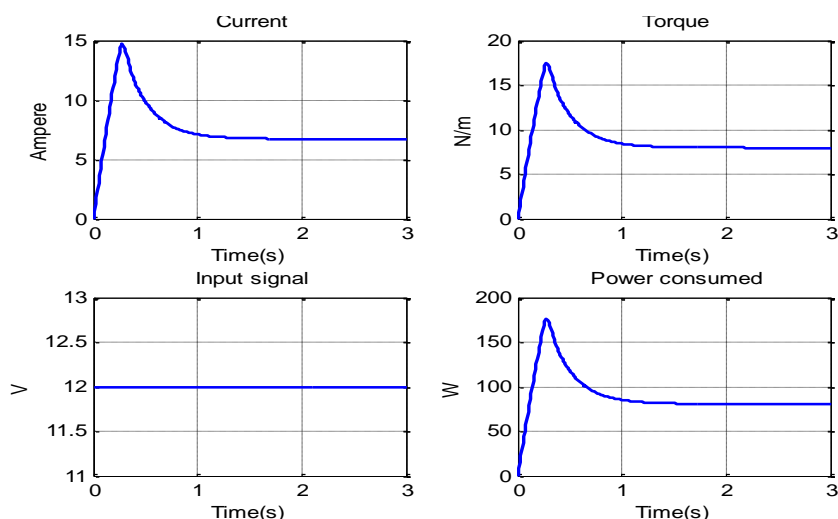
بهدف حل بعض الصعوبات التي يواجهها كل من الحجاج و المعتمرين ، وتحديداً ، ذوي الاحتياجات الخاصة (كبار السن، و المعددين و المرضى)، و بهدف للإستفادة من مساحات الطواف وخصوصاً في الأدوار العليا، تم إقتراح تصميم لناقلة آمنة ذكية، ذاتية العمل ، تعمل بالطاقة الشمسية، لتسهيل آداء مناسك الحج والعمره. تم التحقق من صحة التصميم الميكانيكي، و تصميم وحدة التحكم ، بإستخدام برمجيات (MATLAB - Simulink)، حيث تمت محاكاة التصميم و تجربته، حيث تحقق الآداء المطلوب من سرعة خطية $0.5 \text{ m} / \text{s}$ في 1.3 ثانية بدون تجاوزات، ما يعني أنه تم الحصول على قيادة مرية و بدون ركلاط عند التحرك و التوقف. ينصح بتنفيذ تطبيق التصميم المقترن للناقلة الآمنة الكهربائية الذكية ذاتية العمل لأداء المناسك كإضافة حضارية متقدمة إلى منظومة العمل بالمسجد الحرام.



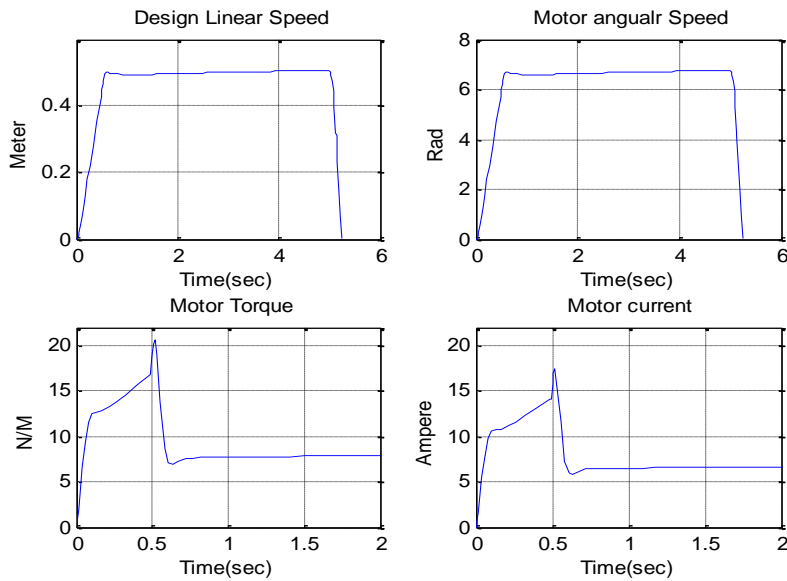
الشكل (٩). نموذج السيموولينك، المبسط، لمحاكاة آداء التصميم المقترن



الشكل ((10(a)) منحنيات إستجابة التصميم لإشارة الخطوة، السرعة الخطية، السرعة الزاوية، التسارع الخطى و الزاوي



الشكل ((10(b)) منحنيات إستجابة التصميم لإشارة الخطوة، التيار المستهلك ، و العزم المولد، القدرة و الإشارة المدخلة



الشكل (11) منحنيات إستجابة التصميم لإشارة (Motion profile)، السرعة الخطية، السرعة الزاوية، التيار، و العزم

المراجع

- Letendre S., Perez R., Herig C. (2003), Vehicle Integrated PV: A Clean and Secure Fuel for Hybrid Electric Vehicles, Proc. of the American Solar Energy Society Solar 2003 Conference, June 21-23, 2003, Austin, TX.
- Rizzo G. (2010), Automotive Applications of Solar Energy, 6th IFAC Symposium "Advances in Automotive Control", Munich, July 11-14, 2010.
- S.Letendre, R.Perez, Christy Herig, Vehicle Integrated PV: a Clean and Secure Fuel for Hybrid Electric Vehicles, Proc. of Annual Meeting of the American Solar Energy Society, June 21-26, 2003, Austin, TX.
- Ivan Arsie, Gianfranco Rizzo, Marco Sorrentino, OPTIMAL DESIGN AND DYNAMIC SIMULATION OF A HYBRID SOLAR VEHICLE, 2006-01- 2997SAE International.
- Hammad M., Khatib T. (1996), Energy Parameters of a Solar Car for Jordan, Energy Conversion Management, V.37, No.12.
- Wellington R.P. (1996), Model Solar Vehicles Provide Motivation for School Students, Solar Energy Vol.58, N.1-3.
- Seal M.R. (1995), Viking 23 - zero emissions in the city, range and performance on the freeway. Northcon- Conference Record 1995. IEEE, RC-108.p 264-268.

- Seal M.R., Campbell G. (1995), Ground-up hybrid vehicle program at the vehicle research institute. Electric and Hybrid Vehicles - Implementation of Technology SAE Special Publications n 11051995.SAE, Warrendale, PA, USA.p 59-65
- Saitoh, T.; Hisada, T.; Gomi, C.; Maeda, C. (1992), Improvement of urban air pollution via solarassisted super energy efficient vehicle. 92 ASME JSES KSES Int Sol Energy Conf. Publ by ASME, New York, NY, USA.p 571-577.
- Rolf Isermann, Modeling and Design Methodology for mechatronics Systems,IEE/SME transaction on mechatronics, VOL. 1, No 1, March 1996.
- De Silva, Clarence W., Mechatronics: An Integrated Approach, CRC Press, 2005.
- Parsa, L.; Goodarzi, A.; Toliat, H. A. Five-Phase Interior Permanent Magnet Motor for Hybrid Electric Vehicle Application, Proceedings of the IEEE Vehicle Power and Propulsion Conference, VPPC'2005, Chicago: USA, 2005, pp. 631-637.
- Massimo Barcaro , Nicola Bianchi , Freddy Magnussen, PM Motors for Hybrid Electric Vehicles, The Open Fuels & Energy Science Journal, 2009, 2, 135-141 135.
- Farhan A. Salem, Ahmad A. Mahfouz , A Proposed Approach to Mechatronics Design and Implementation Education-Oriented, Innovative Systems Design and Engineering , Vol.4, No.10, pp 12-39,2013.
- Farhan A. Salem, Dynamic and Kinematic Models and Control for Differential Drive Mobile Robots, International Journal of Current Engineering and Technology , Vol.3, No.2 , pp253-263 (June 2013).
- Farhan A. Salem, Refined modeling and control for Mechatronics design of mobile robotic platforms, Estonian Journal of Engineering, 19, 3, 212–238,2013.
- Farhan A. Salem, Mechatronics motion control design of electric machines for desired deadbeat response specifications, supported and verified by new MATLAB built-in function and Simulink model, submitted to European journal 2013.
- Huan-Liang Tsai, Ci-Siang Tu, and Yi-Jie Su, Development of Generalized Photovoltaic Model Using Matlab/Simulink, Proceedings of the World Congress on Engineering and Computer Science, October 22 - 24, 2008, San Francisco, USA 2008.
- S.Letendre, R.Perez, Christy Herig, Vehicle Integrated PV: a Clean and Secure Fuel for Hybrid Electric Vehicles, Proc. of Annual Meeting of the American Solar Energy Society, June 21-26, 2003, Austin, TX.

Farhan A. Salem, Dynamic and Kinematic Models and Control for Differential Drive Mobile Robots, International Journal of Current Engineering and Technology , Vol.3, No.2 , pp253-263 (June 2013).

Ahmad A. Mahfouz, Ayman A. Aly, Farhan A. Salem, "Mechatronics Design of a Mobile Robot System", I. J. Intelligent Systems and Applications (IJISA), vol.5, no.3, pp.23-36, 2013.

ملحق المصطلحات، و القيم العددية

DC motor parameters معايير المотор الكهربائي

$V_{in}=12\text{ V}$	Input voltage to DC machine
$K_t=1.188\text{ Nm/A}$	Motor torque constant
$R_a = 0.156\text{ }\Omega$	Motor armature Resistance
$L_a=0.82\text{ MH}$	Motor armature Inductance,
$J_m=0.271\text{ kg.m}^2$	Geared-Motor Inertia
$b_m=0.271\text{ N.m.s}$	Viscous damping
$K_b=1.185\text{ rad/s/V}$	Back EMF constant,
$n=1$	Gear ratio
$r=0.075\text{ m,}$	Wheel radius
$J_{equiv}\text{ kg.m}^2$	The total equivalent inertia,
$b_{equiv}\text{ N.m.s}$	The total equivalent damping,
$L=0.4\text{ m}$	The distance between wheels centers
$K_{tac}=12/6.667=1.8\text{ rad/s}$	Tachometer constant,
$\omega=\text{speed/r, rad/s}$	$=0.5/0.075=6.667$,also $1/0.075=13.3333$
T_{shaft}	The torque produced by motor
η	The transmission efficiency
T_{shaft}	The torque, produced by the driving motor
Nominal values for Solar vehicle platform معايير التصميم الميكانيكي والديناميات	
$M,m,\text{ Kg}$	The mass of the mobile platform
$C_d=0.80$	Aerodynamic drag coefficient
C_L	The coefficient of lift, with values(C_L to be 0.10 or 0.16),
$Cr=0.5$	The rolling resistance coefficient
$\rho ,\text{ kg/m}^3$	The air density at STP, $\rho = 1.25$
$a,\text{ m/s}^2$	Platform linear Acceleration
$G,\text{ m/s}^2$	The gravity acceleration
$N,\text{ m/s}$	The vehicle linear speed.
$\alpha ,\text{ Rad}$	Road slope or the hill climbing angle
B	Mobile platform's reference area
L	lift,
A_f	Platforms frontal area

K_p	Proportional gain
K_i	Integral gain
Z_0	PI controller zero
P_m	The power available in the wheels of the vehicle.
T_{Total}	The total resistive torque, the torque of all acting forces.
Solar cell parameters معايير الخلية الكهروضوئية	
$I_{sc}=8.13 \text{ A} , 2.55 \text{ A} , 3.8$	The short-circuit current, at reference temp 25°C
I_A	The output net current of PV cell (the PV module current)
$I_{ph} \text{ A}$	The light-generated photocurrent at the nominal condition (25°C and 1000 W/m²),
$E_g : = 1.1$	The band gap energy of the semiconductor
$V_t = KT / q$	The thermo voltage of cell. For array : ($V_t = N_s KT / q$)
$I_s \text{ ,A}$	The reverse saturation current of the diode or leakage current of the diode
$R_s=0.001 \text{ Ohm}$	The series resistors of the PV cell, it they may be neglected to simplify the analysis.
$R_{sh}=1000 \text{ Ohm}$	The shunt resistors of the PV cell
V	The voltage across the diode, output
$q=1.6e-19 \text{ C}$	The electron charge
$B_o=1000 \text{ W/m}^2$	The Sun irradiation
$\beta =B=200 \text{ W/m}^2$	The irradiation on the device surface
$Ki=0.0017 \text{ A/}^\circ\text{C}$	The cell's short circuit current temperature coefficient
$V_o= 30.6/50 \text{ V}$	Open circuit voltage
$Ns= 48 , 36$	Series connections of cells in the given photovoltaic module
$Nm= 1 , 30$	Parallel connections of cells in the given photovoltaic module
$K=1.38e-23 \text{ J/oK};$	The Boltzmann's constant
$N=1.2$	The diode ideality factor, takes the value between 1 and 2
$T= 50 \text{ Kelvin}$	Working temperature of the p-n junction
$T_{ref}=273 \text{ Kelvin}$	The nominal reference temperature
Buck converter parameters معايير المحول	
$C=300e-6; 40e-6 \text{ F}$	Capacitance
$L=225e-6 ; .64e-6 \text{ H}$	Inductance
$Rl=RL=7e-3$	Inductor series DC resistance
$rc= RC=100e-3$	Capacitor equivalent series resistance, ESR of C ,
$V_{in}= 24 \text{ V}$	Input voltage
$R=8.33; 5 \text{ Ohm};$	Resistance
$Ron=1e-3;$	Transistor ON resistance
$KD=D= 0.5, 0.2,$	Duty cycle
$Tt=0.1 , 0.005$	Low pass Prefilter time constant
V_L	Voltage across inductor
I_C	Current across Capacitor